### 武汉理工大学学报 JOURNAL OF W UHAN UNIVERSITY OF TECHNOLOGY

Vol.25 No.5 M ay 2003

文章编号:1671 4431(2003)05 0004 03

# 纳米 Fe<sub>3</sub>O<sub>4</sub>的 电位和分散稳定性\*

## 程海斌 刘桂珍 李立春 官建国 袁润章

(武汉理工大学)

摘 要: 研究了 SDBS 存在下合成 Fe<sub>3</sub>O<sub>4</sub> 纳米粒子的 pH 值和 SDBS 浓度与 电位、二次粒径、分散稳定性的关系。结果表明 Fe<sub>3</sub>O<sub>4</sub> 复合粒子的分散稳定性随表面活性剂用量增大而提高 ,随 pH 增大而下降。粒子的 电位在 pH = 2~12 范围内均为负值 ,与粒径、稳定性不成正比例关系。粒子聚沉的主导因素不是 电位的高低 ,而可能是双电层的内部结构。

关键词: 纳米 Fe3O 4; 电位; 粒径; 稳定性; 表面活性剂

中**图**分类号: TB 383 文献标识码: A

纳米 Fe<sub>3</sub>O<sub>4</sub> 在磁、催化、生物等方面具有优异性能,不仅在传统领域显示出新的应用价值而且又成为磁性液体,磁性微珠、磁性药物等新型材料的重要组成部分<sup>[1,2]</sup>。其制备方法很多,其中化学共沉淀方法具有设备要求低、操作简便、成本低等优点,是工业化生产最有前途的方法之一,被广泛应用于实验室和工业制备但是其最大的难题是如何分散生成的纳米 Fe<sub>3</sub>O<sub>4</sub> 粒子,并使其不团聚。目前报道最多的方法是在 Fe<sub>3</sub>O<sub>4</sub> 粒子生成后加入表面活性剂包覆微粒表面,可以减少团聚。但由于 Fe<sub>3</sub>O<sub>4</sub> 粒子的表面活性很高,以及有形成桥氧键的趋势,在生成过程中极易团聚甚至形成桥氧键而聚沉。采用改进共沉淀法制得的纳米 Fe<sub>3</sub>O<sub>4</sub> 复合粒子能在更宽的 pH 范围内稳定分散,研究表面活性剂、pH 值、 电位与 Fe<sub>3</sub>O<sub>4</sub> 复合粒子分散性的关系,对纳米复合粒子的制备具有重要指导意义。

### 1 实验

#### 1.1 原料

FeSO 4 · 7H 2O AR ,FeCls · 6H 2O AR ,NaOH AR ,十二烷基苯磺酸钠(SDBS)AR

#### 1.2 仪器及测试条件

电位分析仪、粒度分析仪(Model: Zeta PALS) pH 计 (美国)Brookhaven Instruments Corporation。电位测试条件:温度 20 ,入射光波长 678 nm。粒度测试条件:温度 20 ,入射光波长 635 nm ,角度 90°,扫描时间 3 m in。

分析型电子显微镜(Analytical TEM) Model H 600 STEM /EDX ,PV 9100 ,(日本) Hitachi Ltd.测试条件:电压 100 kV ,电流 25 µA

### 1.3 纳米 Fe<sub>3</sub>O<sub>4</sub> 粒子的制备

#### 1.3.1 溶液的配制

以 FeSO 4 · 7H 2O 和 FeCl3 · 6H 2O 为原料配制 c(Fe<sup>2+</sup>)=0.1 m ol L 及 c(Fe<sup>3+</sup>)=0.1 m ol L 的反应液 S1;以 NaOH 和十二烷基苯磺酸钠(SDBS)为原料配制 c(NaOH)=3 m ol L 及 c(SDBS)=x m ol L 的反应液 S2。

#### 1.3.2 Fe<sub>3</sub>O<sub>4</sub>复合粒子的制备

取反应液 Sı1 000 m L 加入装有搅拌、充氮、控温、抽真空装置的四颈烧瓶中,抽真空,并用氮气置换

收稿日期:2003-01-16.

作者简介 程海斌(1957-),男,工程师;武汉,武汉理工大学材料复合新技术国家重点实验室(430070).

<sup>\*</sup>国家 863 资助项目(2002AA 305302)国家自然科学基金资助项目(29904005)和材料复合新技术国家重点实验室开放基金资助项目.

次。然后在恒温 25 、 $N_2$ 气保护下滴加反应液  $S_2$ 至  $pH = 10 \sim 12$  ,得到黑色液体产物 ,继续搅拌 10 m in,然 后用高速离心机在 4 000 r /m 离心分离 20 m in ,取部分上层黑色液体(以下称 Fe3O 4 复合粒子溶液 )作为测 试样品,其余部分用乙醇进行处理,可见溶液中逐渐析出黑色粒子,然后用磁铁将溶剂分离,并用纯净水洗涤 3次,丙酮洗涤 2~3次,80 下真空干燥 30 h 得粉末产品。

### 1.4 Fe<sub>3</sub>O<sub>4</sub>复合粒子的 pH 值、电位、粒径测定

取 1.2 节制得的黑色 Fe<sub>3</sub>O 4 复合粒子溶液 ,首先用酸逐步调节 pH 值并用 pH 计测定 pH 值 ,然后用布 鲁克海文公司的 BI90 激光 Zeta Pals 电位分析仪、激光粒度分析仪分别测定 电位和二次粒径。

### 结果与讨论

### 2.1 pH 值、SDBS 浓度对稳定性的影响

制备过程中观察到 Fe3O 4 复合粒子溶液的稳定性与 pH 值以及 SDBS 浓度有关 ,见表 1。在原共沉淀法 中,粒子极不稳定,其稳定性与 pH 值成反比,在强碱性介质中静置时立即发生聚沉,随着 pH 值降低,稳定性 有所提高,但静置几分钟后都会析出沉淀。而在改进共沉淀法中其稳定性随 SDBS 的浓度增大而提高。1#样 在强碱性介质中会发生聚沉但在酸性介质中仍不会发生分解。2#样在 pH = 1~14 范围内都十分稳定 ,即不 发生聚沉也不发生分解。说明纯纳米 Fe3O 4 粒子极不稳定,容易聚合,而复合粒子稳定。Laswich JA Plane R A ,Stiasny [3,4]通过实验曾证实了 Fe3O 4 粒子的形成过程实质就是铁离子首先水解生成羟桥多核络 合物 随着 pH 值提高或加热脱水 ,由羟桥变为氧连的过程。在改进共沉淀法 ,纳米 Fe3O 4 粒子形成的同时 SDBS 表面活性剂的阴离子磺酸基就与羟桥上的氢键合 ,将粒子隔开并防止由羟桥变为氧桥 ,所以当 SDBS 浓度足够大时,将形成纳米 Fe3O 4 SDBS 复合粒子,对酸和碱的稳定性提高了。

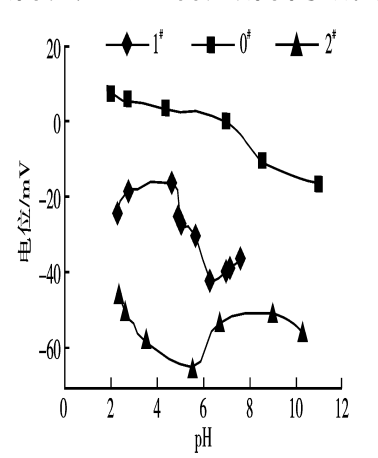
Нд	1	3	6	8	9	10	12	14
0#样	8 min	7 m in	5 m in	4 m in	3 m in	1 m in	立即	立即
1#样	无	无	无	无	12 m in	10 m in	立即	立即
2 <b>#样</b>	无	无	无	无	无	无	无	无

表 1 粒子在不同 pH 值下发生聚沉的时间比较

注:0#样为共沉淀法 SDBS 浓度为 0 ; #样、2 #样为改进共沉淀法 SDBS 浓度分别为 x ,4x(x = 0.002 m ol/L ),下图中标记相同。

### 2.2 pH 值和 电位的关系

从图 1 可以看出 ,原共沉淀法制得的粒子( $0^{\#}$ 样),在 pH = 7 附近出现等电点 ,在  $pH = 1 \sim 7$  范围内 位均为正值,表面都带正电荷,在 pH = 7以上电位均为负值,表面都带负电荷,粒子受 pH 值的影响较大,实 验时发现 pH 值超过 10 时极不稳定 ,粒子迅速团聚并沉到比色皿底部而影响测定结果。改进共沉淀法制得 的复合粒子(1#和 2#样)与原共沉淀法制得 Fe3O 4 粒子不同 ,在 pH = 2 ~ 12 范围内没有等电点 ,电位均为负 值 ,表面都带负电荷而不是带正电荷。1#样在 pH = 1~4.5 范围内 电位基本相同 ,在 pH = 4.5~6.5 范围 内, 电位急剧增大,然后又缓慢减小;2#样的 电位比 1#样大,都在 - 40 m v 以上,其变化趋势也有所不 同 ,在 pH = 2 ~ 5.5 范围内 ,进一步增大 ,在 pH = 5.5 ~ 7 范围内 ,电位减小 ,在 pH = 7 ~ 9 范围内 ,变化较小 尔后又经过增大后再减小。显然 SDBS 对 Fe3O 4 粒子的表面电位产生了影响 ,因而保护粒子的分散稳定性。



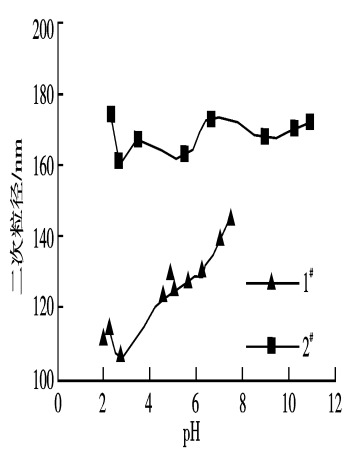
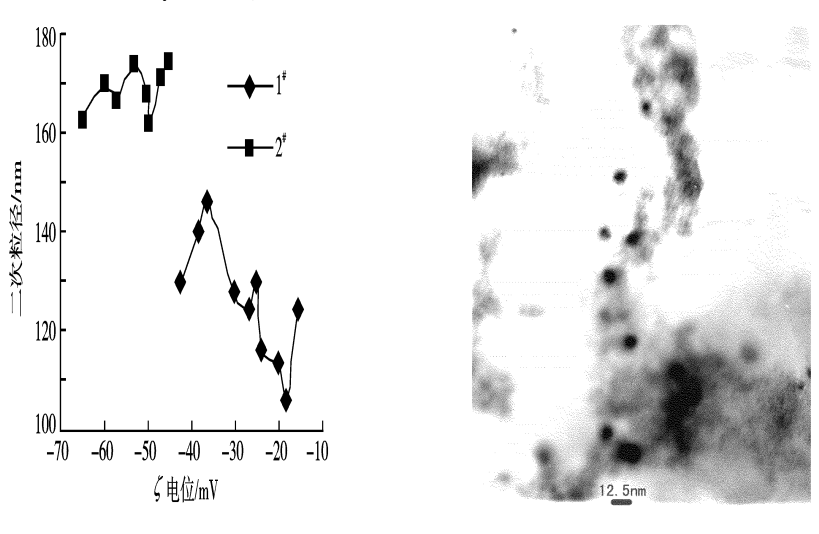


图 1 pH 值和 电位的关系

图 2 pH 值和粒径的关系

用酸将 Fe3O 4 复合粒子溶液调至 pH 值为 2.77,放置 20 d 后仍然为稳定的黑色溶液,用高速离心机 4 000 r /m ,20 m in 仍然无沉淀。透射电镜观察 Fe<sub>3</sub>O 4 粒子的粒径约为 15 nm 左右 ,外层有有机物包覆层(见 图 4 )。用 BET 吸附法测得干燥后的 Fe<sub>3</sub>O 4 粒子的粒径为 17 nm 左右 ,用激光散射法测得 Fe<sub>3</sub>O 4 二次粒径平均为 106 nm ,进一步说明溶液中的 Fe<sub>3</sub>O 4 粒子的确被 SDBS 多层包覆。





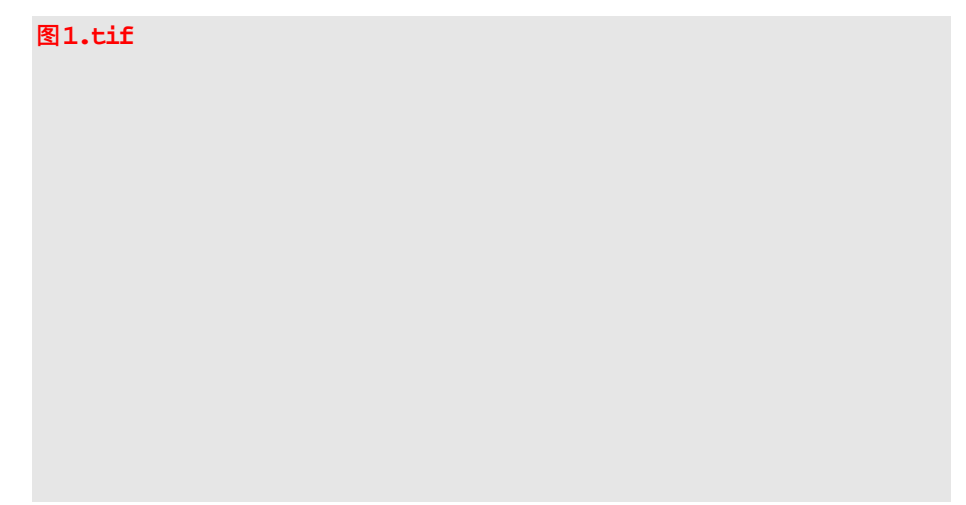


图 4 Fe<sub>3</sub>O<sub>4</sub> 复合粒子的 TEM (x 80 k)

### 2.3 pH 值和粒径的关系

从图 2 看出 ,样品 1 随着 pH 值增大平均二次粒径先是稍有降低 ,然后几乎是单向增大 ,而样品 2 则几乎不随 pH 变化。说明 pH 值对二次粒径的影响随表面活性剂浓度增大而削弱 ,当表面活性剂浓度足够高时则可使粒径不受 pH 值的影响。

### 2.4 电位和粒径的关系

从图 3 可看出 :随着 电位的降低 样品 1 的二次粒径发生较大波动 ,但基本趋势是降低 ,而样品 2 则波动很小 ,几乎不变 ,而且样品 2 的二次粒径比样品 1 的高。传统的胶体理论难以解释这些现象 ,如 Ellis 和 Pow is [5]认为聚沉作用不总是发生在等电点 ,而在临界 电位(约 25~30 m V )以下。按 Stern [5]理论 ,有机离子能大幅度降低 电位而有较强的聚沉能力。实验结果是有机离子十二烷基苯磺酸根的加入既不降低 电位也不引起聚沉 ,相反是提高 电位使 Fe3O 4 胶体粒子更加稳定 ;其次是 SDBS 浓度低时 电位即使超过 - 40 m V 仍然会发生聚沉。从而说明表面活性剂阴离子的作用不同于传统的有机离子 ,极有可能是在铁离子水解过程中参与了反应。最好的解释是表面活性剂吸附在胶体颗粒表面上后 ,可能使表面过剩自由能降为零或负值 [5] ,结果使体系的分散稳定性提高 ;更重要的可能是 SDBS 的磺酸基在 Fe3O 4 粒子生成之初就与羟桥的氢缔合了 ,与 OH 一道进入溶胶的固定层 ,并与 OH 克争与羟桥上的氢结合 ,SDBS 浓度低和 PH 高时磺酸基的竞争力被削弱 ,导致氢桥转为氧桥而聚沉。当 SDBS 浓度较大时 ,在溶胶的吸附层和扩散层都可能被 SDBS 基团占满 ,非极性基团与烷基相亲朝内 ,磺酸基与极性溶剂 H 2O 相亲而朝外 ,可动层为 Na \* ,可以抵御 OH \* 的竞争 ,所以测得的电位为负值 ,并且在酸性和碱性介质中都稳定 ,pH 的改变仅改变外层部分磺酸基的取向 ,使电位略有改变而不改变粒径和分散稳定性。

### 3 结 论

- a. 改进共沉淀法制得的 Fe3O 4 复合粒子的稳定性比原共沉淀法提高 ,并随表面活性剂用量增大而提高。
- b.改进共沉淀法合成的 Fe3O 4 复合粒子的 电位为负值 ,但与粒径、稳定性不成正比例关系。
- c.防止 Fe₃O ₄ 复合粒子聚沉的主导因素不是 电位的高低 ,而是双电层的内部结构 ,当进入固定相的是表面活性基团而不是 OH ·则稳定 ,反之则即使电位很高也不稳定。

### 参考文献

- [1] 都有为.磁性材料进展[3].物理,2000(6):323~332.
- [2] 刘 辉,钟 伟,都有为.新型磁性液体的制备及其旋转轴动态封油技术研究[J].磁性材料及器件,2001(2):45~49.
- [3] 周性尧 任建国.分析化学中的离子平衡[м].北京 :科学出版社 ,1998.
- [4] Rgim blett F G .Inorganic Polym er Chem istry[M].London .Butterw orths ,1963.
- [5] 王果庭.胶体稳定性[M].北京:科学出版社 1990.

m un ,1972(11):907~910.

[8] 杨烈宇,关文铎,顾卓明.材料表面薄膜技术[M].北京:人民交通出版社,1991.

### XRD Analysis of Sm S Thin Film s Deposited by Sputtering

H uang Jianfeng Cao Liyun X iong X inbo Shen Qing Luo H ongjie Jin Ping

Abstract: The m etallic phase Sm S(M Sm S) and sem iconductive phase Sm S(S Sm S) thin film s stable at am bient atm o sphere were deposited on Si(100) substrate by sputtering with a single target of Sm  $_2$ S $_3$  and dual target of Sm  $_2$ S $_3$  and Sm . X ray diffraction (XRD), Rutherford backscattering spectrom etry (RBS) were employed to analyze the crystalline structure o the film s deposited at different substrate temperature and sputtering power.

Key words: sputtering; Sm S thin film; X ray diffraction

Huang Jianfeng: Lect. School of M aterials Science and Engineering, ShanxiUniversity of Science and Technology, Xi an yang 712081, China.

### (上接第6页)

### Potential and Stability of Fe<sub>3</sub>O<sub>4</sub> Nanoparticles

Cheng Haibin Liu Guizhen Li Lichun Guan Jianguo Yuan Runzhang

Abstract: It has been studied the influnce of the content of SDBS and pH value on potential, the second particle size, the dispersity and the stability of Fe<sub>3</sub>O<sub>4</sub> nanoparticles synthesised in the presence of SDBS. The results show that the stability of the Fe<sub>3</sub>O<sub>4</sub> nanoparticles is enhanced with increasing surfactant, but weakened with increasing pH value. The potential of the particles is always negative when pH = 2 ~ 12. and there is no direct relationship between the potential and particle size of stability. As a consequence, the leading factor for the coagulation of the particles is not the potential, but possibly be the structure of the electric double layer.

Key words: Fe<sub>3</sub>O<sub>4</sub> nanoparticles; potential; particle size; stability; surfactant

Cheng Haibin: Engineer State Key Lab. of Advanced Technology for M aterials Synthesis and Processing, W UT, W uhan 430070, China.